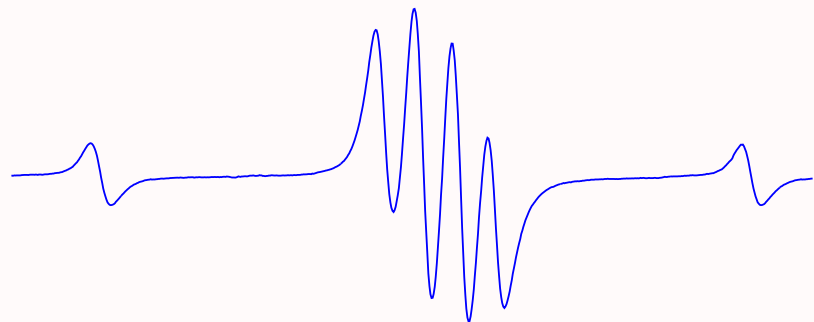
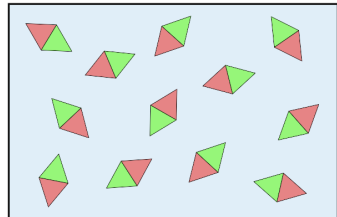


Elektronová Paramagnetická Rezonance

Teorie a základní principy



Paramagnetické částice



Paramagnetické částice

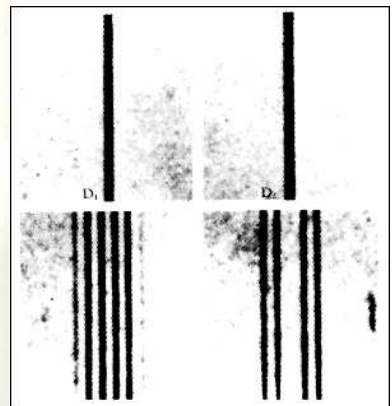
... částice, které mají nenulový magnetický moment ...

Jsou to:

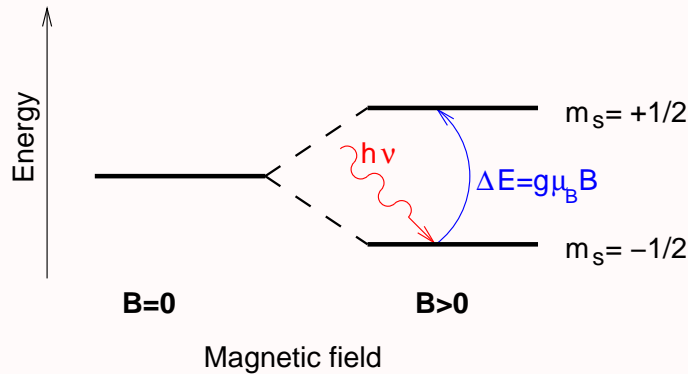
- částice s neúplným počtem elektronů ve valenční slupce
(orbitální moment)
- částice s nenulovým celkovým spinem
(spinový moment elektronů a jádra)

Celkový magnetický moment je složen z jednotlivých příspěvků. Úplný popis interakce mezi jednotlivými momenty a případně vnějším polem je poměrně komplikovaný a proto se často v praxi přistupuje k poruchové metodě a určitým approximacím. Tak hovoříme o typech vazby mezi momenty, např. spin-orbitální, spin-spinová, ... podle majoritního příspěvku k hamiltoniánu.

Zeemanův jev

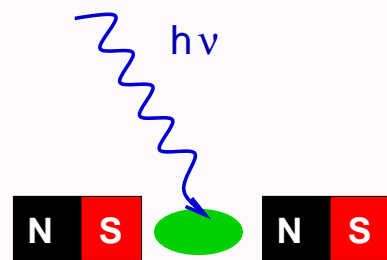


Zeemanův jev



Energiové hladiny paramagnetické částice, která se nachází v magnetickém poli, jsou vlivem tohoto magnetického pole **rozštěpeny**. Mezi nimi pak může dojít k přechodům spojeným s absorpcí či emisí fotonu.

Podmínka EPR rezonance



$$h\nu = g_J \mu_B B_0$$

Podmínka EPR rezonance

Vzorek obsahující paramagnetické částice je umístěn uvnitř mikrovlnného rezonátoru, který se nachází v homogenním magnetickém poli o indukci B . Do rezonátoru je přiváděno mikrovlnné záření o konstantní frekvenci ν .

$$h\nu = g_J \mu_B B_0$$

kde

h ... Planckova konstanta

ν ... frekvence záření

g_J ... Landého g-faktor (efektivní g-faktor, vzniklý kombinací spinového a orbitálního g-faktoru)

μ_B ... Bohrův magneton $\mu_B = \frac{e\hbar}{4\pi m_e}$

B ... indukce magnetického pole

g-faktor



Alfred Landé

g-faktor

S pohybem elektronu (spin, orbitální pohyb) – nebo protonu – je spojen indukovaný magnetický moment. Jak účinně je tento magnetický moment indukován charakterizuje bezrozměrné číslo zvané *g-faktor* (gyromagnetický faktor, faktor rozštěpení).

Rozlišujeme

- elektronový spinový *g-faktor* g_S spojený se spinem
- elektronový orbitální *g-faktor* g_L spojený s orbitálním momentem
- Landého *g-faktor* g_J spojený jak se spinem, tak s orbitálním momentem (jejich kvantově-mechanickou kombinací)
- neutronový spinový *g-faktor* g_n
- protonový spinový *g-faktor* g_p

Pro Landého g -faktor z poruchové teorie v approximaci prvního řádu, pro slabé indukce magnetického pole platí

$$\begin{aligned} g_J &= g_L \frac{J(J+1) - S(S+1) + L(L+1)}{2J(J+1)} \\ &\quad + g_S \frac{J(J+1) + S(S+1) - L(L+1)}{2J(J+1)} \\ &\approx 1 + \frac{J(J+1) - L(L+1) + S(S+1)}{2J(J+1)} \end{aligned}$$

kde

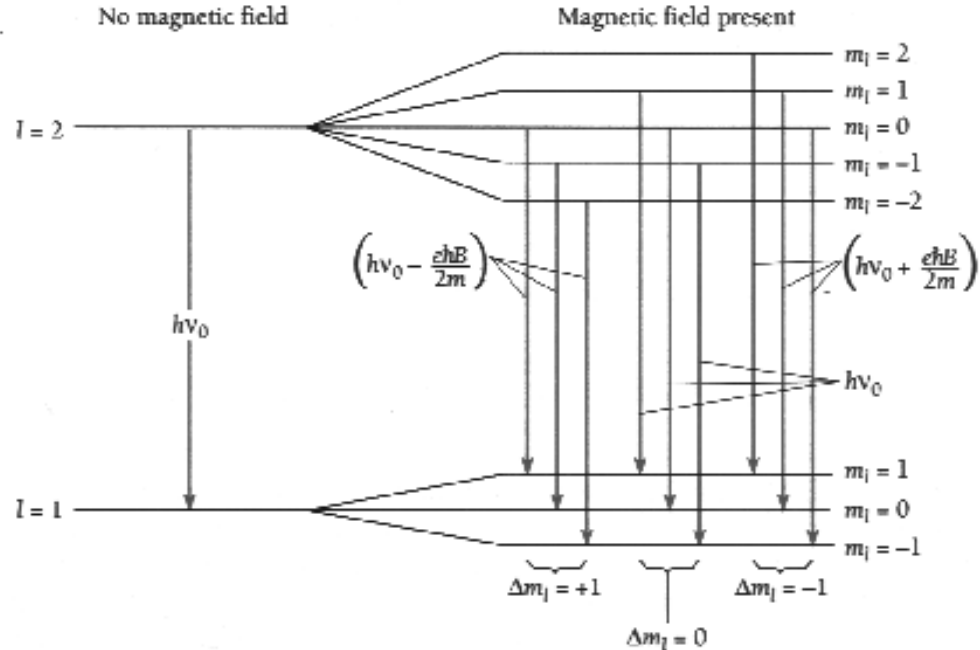
S ... výsledné spinové kvantové číslo, $S = |s_1 - s_2| \dots |s_1 + s_2|$

L ... výsledné orbitální kvantové číslo, $L = |l_1 - l_2| \dots |l_1 + l_2|$

J ... kombinace L a S , například pro LS-vazbu $J = |L - S| \dots |L + S|$

Pro volný elektron bez interakce s okolím $g_S \approx 2$ (přesněji po započtení relativistických efektů $g_S = 2.00232$) a $g_L = 1$. V atomech a molekulách je hodnota g_J (faktoru spin-orbitální interakce) vlivem okolí změněna.

Výběrová pravidla pro EPR přechody



Výběrová pravidla pro EPR přechody

Kvantový systém umožňuje pouze některé přechody. Tato omezení jsou popsána tzv. **výběrovými pravidly**. Výběrová pravidla jsou uváděna jako povolené změny v kvantových číslech. Pro různá kvantová čísla existují různá výběrová pravidla.

Pro **elektrické dipólové přechody** tak obvykle máme $\Delta m = 0$.

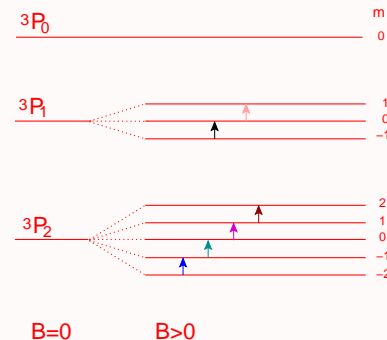
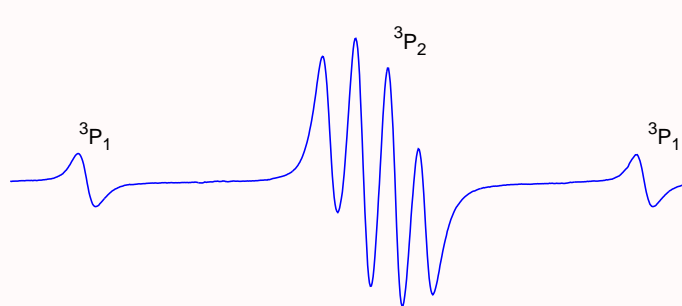
Pro **EPR přechody** jsou povoleny $\Delta m = \pm 1$.

Výběrová pravidla však mají spíše pravděpodobnostní charakter a pro různé systému jsou více či méně efektivní.

Typická EPR spektra vybraných atomů a molekul

Základní stav atomu kyslíku, $^{16}\text{O}({}^3\text{P})$

- Elektronová konfigurace: $1s^2 \ 2s^2 \ 2p^4$
- Počet chybějících valenčních elektronů: 2
- Celkový spin: $S = 1$
- Multiplicita: $2S + 1 = 3$
- Orbitální moment: $L = |l_1 - l_2| \dots |l_1 + l_2| = 0, 1, 2$
- Pauliho vylučovací princip: zakázána $L = 2$
- Výsledný orbitální moment: $L = 1$, označen jako stav P
- Energiové hladiny: ${}^3\text{P}_2, {}^3\text{P}_1, {}^3\text{P}_0$
- Povolené přechody: $\Delta m_j = \pm 1$.



Typická EPR spektra vybraných atomů a molekul

Základní stav atomu kyslíku, ${}^{16}\text{O}({}^3\text{P})$

V zaznamenaném spektru základního stavu atomu kyslíku jsou 4 čáry náležící ${}^3\text{P}_2$ přechodům, obklopené 2 čarami náležícími ${}^3\text{P}_1$.

Jak je ale možné, že čtyři čáry náležící stejné hodnotě J mají různé hodnoty B_0 ? Ačkoliv pro většinu atomů můžeme použít approximaci

$$\Delta E \propto B$$

atomární kyslík je jeden z těch, kde se projevují též vyšší mocniny v Taylorově řadě Hamiltoniánu, popisujícího interakci elektromagnetického záření ze Zeemanovsky rozštěpenými hladinami. Tedy správně bychom měli psát

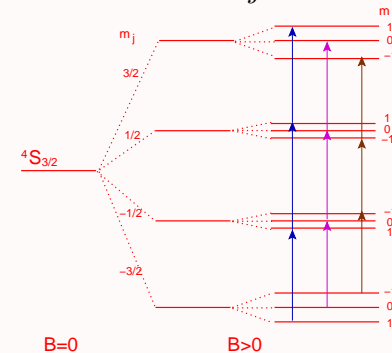
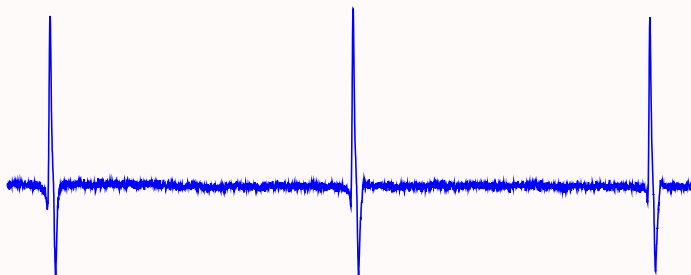
$$\Delta E \propto a_1 B + a_2 B^2 + a_3 B^3 + \dots$$

kde a_i jsou konstanty.

Typická EPR spektra vybraných atomů a molekul

Základní stav atomu dusíku, $^{14}\text{N}({}^4\text{S})$

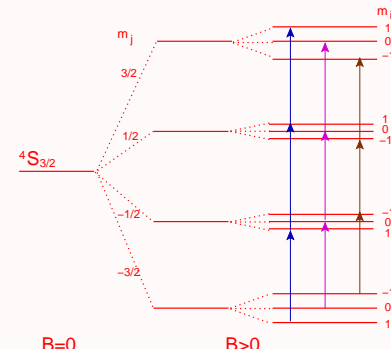
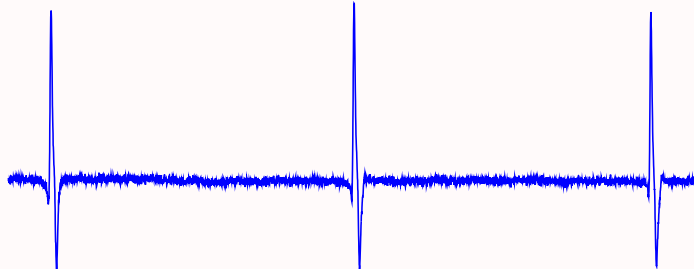
- Elektronová konfigurace: $1s^2 \ 2s^2 \ 2p^3$.
- Počet valenčních elektronů: 3
- Celkový spin elektronů: $S = \frac{3}{2}$
- Celkový spin jádra: $I = 1$
- Multiplicita: $2S + 1 = 4$
- Hyperjemuňá struktura: $2I + 1 = 3$
- Orbitální moment: $L = |l_1 - l_2| \dots |l_1 + l_2| = 0$
- Výsledný orbitální moment: $L = 0$, označen jako stav S
- Energiové hladiny: ${}^4\text{S}_{-3/2}, {}^3\text{S}_{-1/2}, {}^4\text{S}_{3/2}, {}^3\text{S}_{1/2}$
- Povolené přechody: $\Delta m_j = 0, \pm 1$.



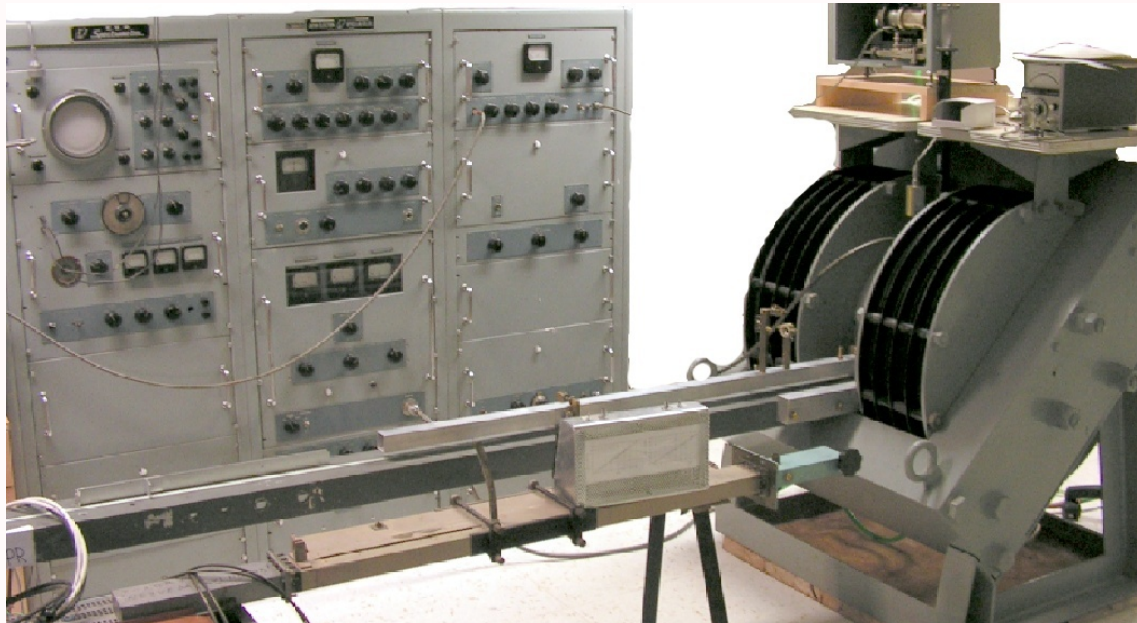
Typická EPR spektra vybraných atomů a molekul

Základní stav atomu dusíku, $^{14}\text{N}({}^4\text{S})$

Stejné důvody jako byly uvedeny pro kyslík, jsou zodpovědné za fakt, že tři čáry mají různé hodnoty B_0 . Základní stav dusíku je tedy označován ${}^4\text{S}_{3/2}$. V magnetickém poli se energiové hladiny štěpí na čtyři hladiny ($2J + 1$). Pozorované 3 čáry mají stejnou intenzitu (pravděpodobnost přechodu) a jsou separované o 3.7×10^{-4} T.

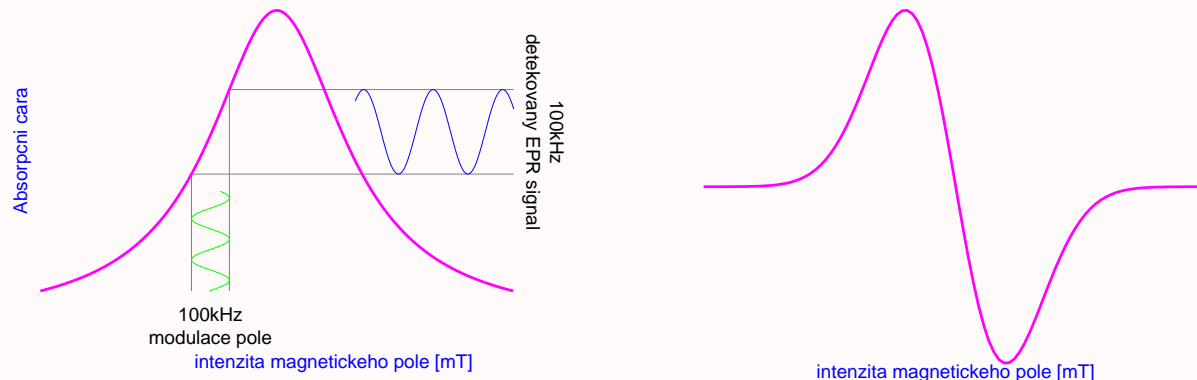


Elektronová Paramagnetická Rezonance Experiment



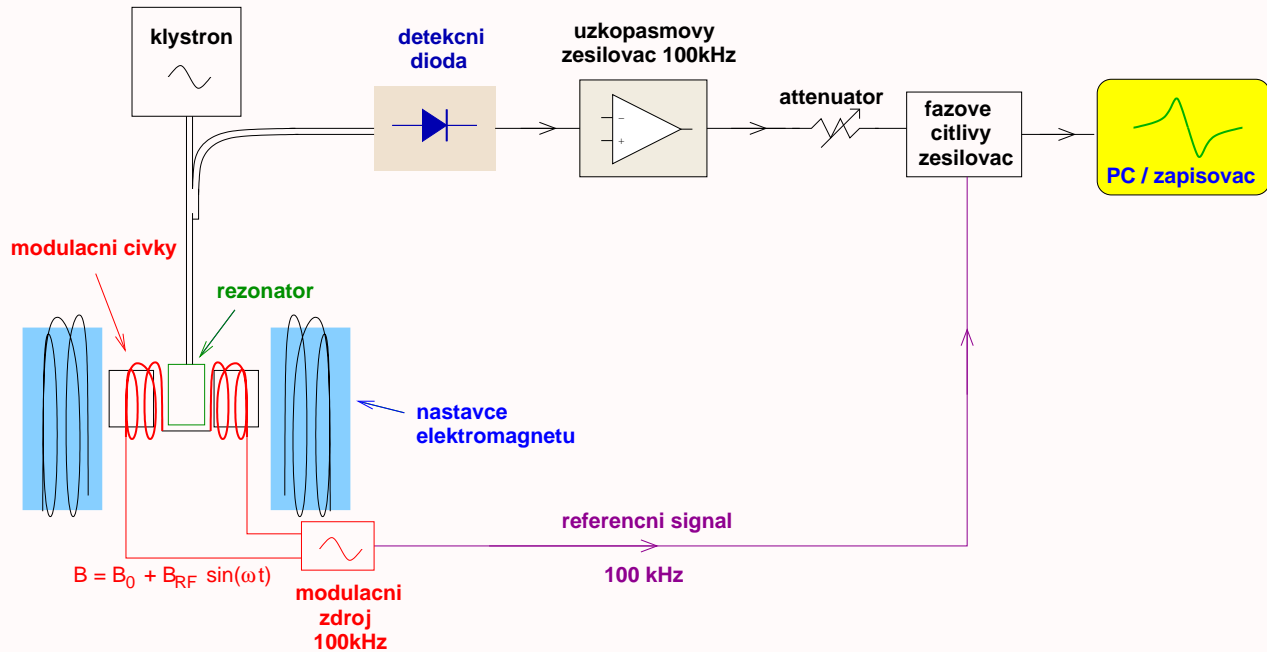
Princip detekce
Uspořádání experimentu
Optimalizace parametrů

Synchronní detekce, detekční dioda



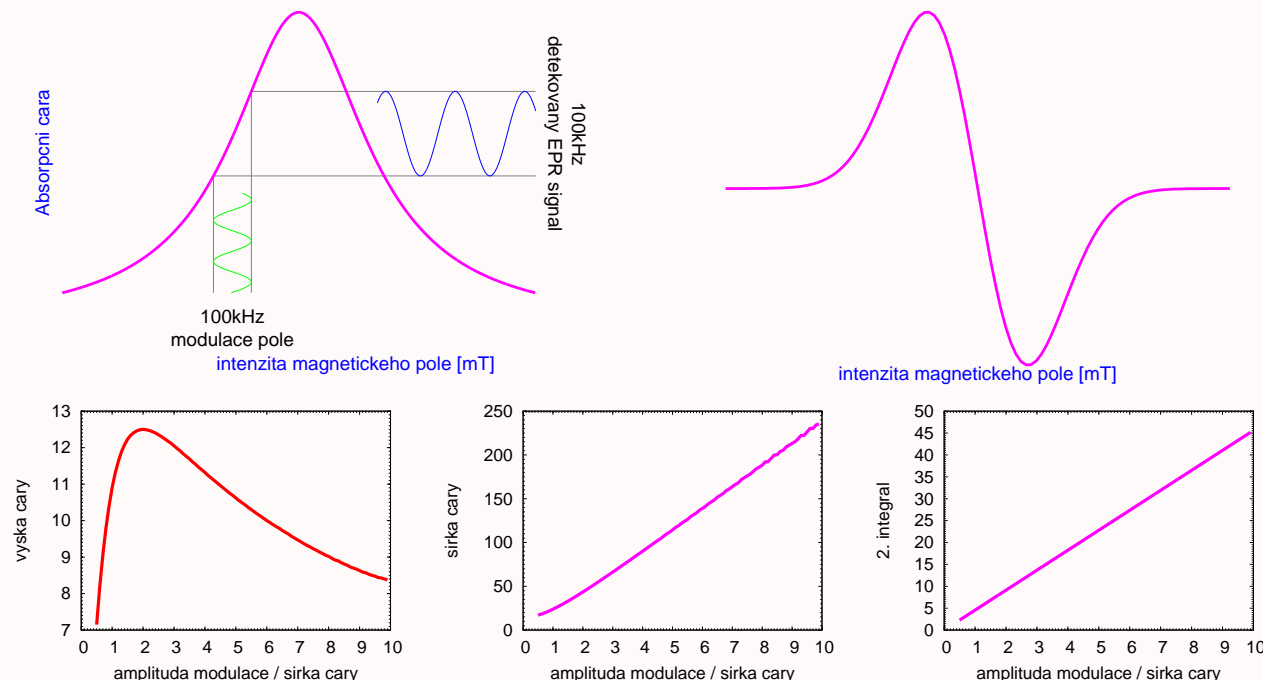
- umožňuje vyšší citlivost detekce
- k lineárně zvyšovanému nebo snižovanému magnetickému poli se přidává střídavá složka o konstantní frekvenci 100kHz a amplitudě nastavitelné pro danou spektrální čáru (*amplituda modulace*)
- dané hodnoty indukce magnetického pole B se tak dosahuje několikrát opakovaně
- výsledný signál dále ještě prochází úzkopásmovým frekvenčním filtrem (100kHz) a výsledkem je méně šumu.
- vedlejším produktem této metody je že zaznamenáváme derivaci absorpce

Schéma spektrometeru EPR



Amplituda modulace magnetického pole

Význam pojmu amplituda modulace magnetického pole je patrný na obrázku zobrazujícího princip synchronní detekce



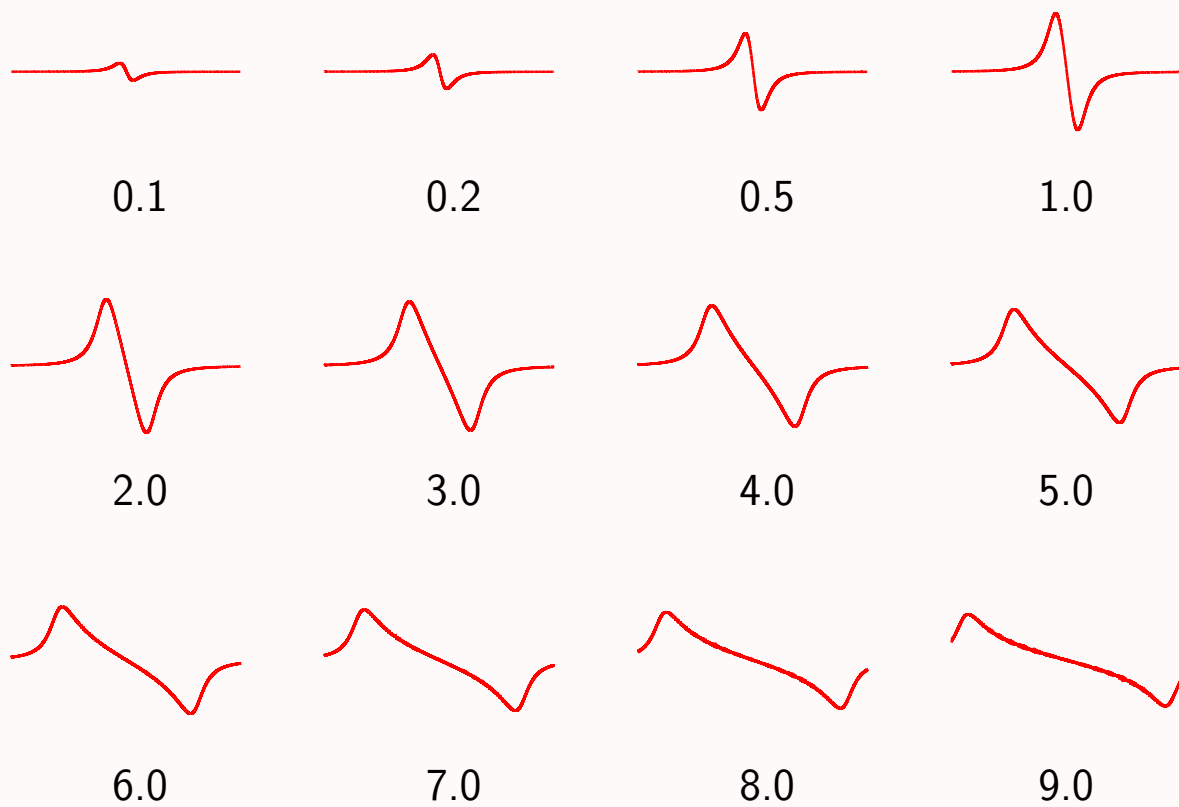
Největší hodnoty p-t-p výšky lze dosáhnout pro amplitudu modulace okolo 1.5 až 2.0 krát větší než šířka skutečné nerozšířené čáry.

Amplituda modulace magnetického pole

Pro kvalitativní měření však potřebujeme lineární charakteristiku (abychom mohli snadno udělat přepočet na jednotnou modulaci). Máme tedy dvě možnosti:

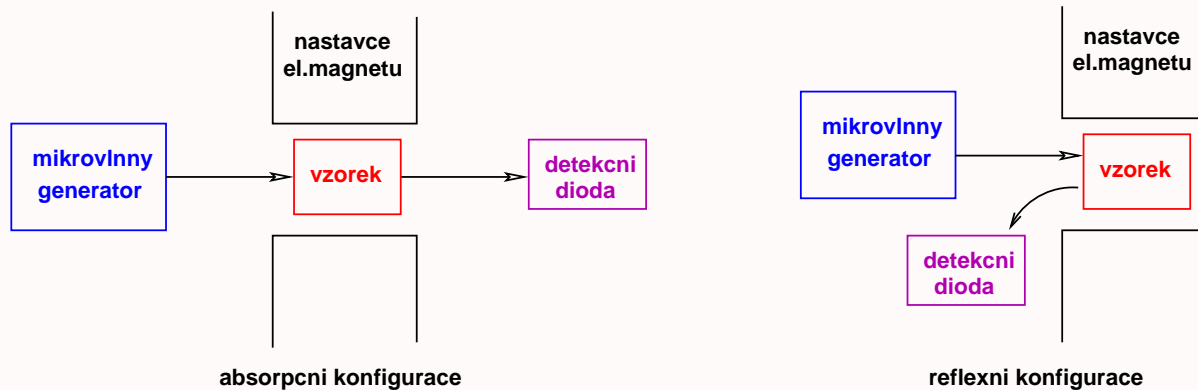
1. použít lineární část nárustu na charakteristice výška čáry v závislosti na amplitudě modulace, nebo
2. namísto vyhodnocování na základě výšky čáry použijeme druhou integraci (která je v závislosti na amplitudě modulace lineární).

Amplituda modulace magnetického pole



Vliv amplitudy modulace magnetického pole na tvar EPR čáry.

Absorpce mikrovlnného záření a vliv měřícího výkonu



Blokové schéma principiálního uspořádání.

Měřícím výkonem se rozumí mikrovlnný výkon záření, kterým ozařujeme vzorek. V nenasyceném stavu se při zvýšení měřícím výkonu zvýší též absorpce. Postupně se ale se zvyšujícím výkonem dojde k *saturaci* (kdy už vzorek není schopen absorbovat žádné další záření) a zvýšíme-li výkon ještě víc, začne absorpce dokonce klesat.

Absorpce mikrovlnného záření a vliv měřícího výkonu

Reflexní uspořádání

Většina přístrojů je konstruována v reflexním uspořádání. Ze zákona zachování energie jsou změny v absorpci přímo svázány se změnami v koeficientu odrazu a tak jsou výsledky identické.

Reflexní uspořádání je přitom konstrukčně i manipulačně výhodnější. Vzorek je umístěn v rezonanční dutině. Díky vysokému Q-faktoru pak vzorek interaguje s mnohem silnějším mikrovlnným polem, než kdyby byl umístěn přímo do mikrovlnného svazku.

Umístění EPR vzorku do rezonanční dutiny navíc umožňuje určitou separaci magnetického a elektrického vf. pole a tedy i potlačení např. nerezonanční dielektrické absorpcie ve vzorku.

Vliv prostředí na šířku a tvar spektrální čáry EPR

Žádná spektrální čára není úplně monochromatická.

Z principu neurčitosti

$$\Delta E \cdot \Delta t \sim \hbar$$

šířka čáry ΔE je nepřímo úměrná době života excitované částice Δt .

Dále se může čára rozširovat vlivem různých vnějších faktorů, jako například tlakové rozšíření nebo Dopplerovo rozšíření.

Tlakové rozšíření



12Pa



39Pa



53Pa



60Pa



70Pa



75Pa



88Pa



113Pa

Příklad tlakového srážkového rozšíření. EPR čára atomu kyslíku, tlak 10-100Pa. Vzájemné srážky u atomu kyslíku vedou ke zkreslení energiových hladin. Čtyři čáry náležící 3P_2 se pak při vyšším tlaku slijí v jedinou čáru.

Populace energiových hladin

Měřený vzorek se obvykle sestává z mnoha paramagnetických částic. K jeho popisu se nejlépe hodí statistický přístup. V termodynamické rovnováze je statistické rozdělení popsáno *Boltzmannovým rozdělením*:

$$\frac{n_{\text{upper}}}{n_{\text{lower}}} = \exp \left(-\frac{E_{\text{upper}} - E_{\text{lower}}}{kT} \right) \quad (1)$$

To znamená, že v rezonanci, kdy $\frac{n_{\text{upper}}}{n_{\text{lower}}} = \exp \left(-\frac{h\nu}{kT} \right)$, pro teplotu $T = 298\text{K}$ a frekvenci $\nu = 9.75\text{GHz}$ (pásma X) je poměr $\frac{n_{\text{upper}}}{n_{\text{lower}}} = 0.998$, tedy horní hladina má jen o 0.2% nižší populaci než hladina spodní. Ale i tak malý rozdíl populací stačí, aby přechody z nižších hladin do vyšších byly častější a tedy aby mohla být energie absorbována.

Populace energiových hladin

Zářivé přechody

1. *absorpce*
2. *spontánní emise*
3. *stimulovaná emise*

Stimulovaná emise a absorpcie probíhají se stejnou pravděpodobností. Kdyby tedy existovaly pouze tyto dva procesy, nebude žádný makroskopický efekt zesílení nebo zeslabení elektromagnetického záření pozorovatelný.

Nezářivé přechody

Krom zářivých přechodů může též docházet k nezářivým relaxačním procesům, způsobených zejména srážkami, kdy je energie dodána/odnesena jinou částicí. Tyto přechody jsou velmi důležité, jinak by ozařování vzorku, dříve či později vedlo k vyrovnání populací obou hladin a žádnou další absorpci bychom nepozorovali.

Kalibrace pomocí O₂

Z čeho při kalibraci vycházíme:

Základním předpokladem je stavová rovnice ideálního plynu

$$p = nkT \quad (2)$$

pak můžeme určit absolutní koncentraci O₂:

$$[\text{O}_2] = \frac{p}{kT} \quad (3)$$

Proč zrovna O₂:

- je paramagnetický (tudíž naší metodou detekovatelný)
- je sám o sobě inertní

Kalibrace pomocí O₂

Srovnání síly signálu pro kalibrační a měřený vzorek.

Řekněme třeba, že zjištujeme koncentraci N. Platí

$$\frac{[N]}{[O_2]} = Q_N \frac{\int \chi''_N dH}{\int \chi''_{O_2} dH} \quad (4)$$

zde χ'' je imaginární část magnetické susceptibility. Integrály $\int \chi'' dH$ jsou úměrné druhým integrálům přes zaznamenané EPR čáry (první integrací získáme skutečnou absorpční čáru z její derivace, druhým integrováním zjistíme plochu pod absorpční křivkou, která je úměrná koncentraci).

Koeficient Q , vztázený k čáře C molekulárního kyslíku, je například pro dusík N(⁴S) (pro jednu ze tří čar – všechny jsou stejně intenzivní) $Q_N = 5.88 \times 10^{-3}$, pro atomární kyslík O(³P), signál složený ze všech šesti čar by to bylo $Q_O = 2.02 \times 10^{-3}$.

Kalibrace pomocí O₂

Přepočet nastavených parametrů přístroje

Zpravidla pro každou čáru je třeba nastavit parametry měření trochu jinak (jinou amplitudu modulace, jinou šířku rozmítání, jiný měřící výkon,...). Pro účely kalibrace na absolutní koncentraci je potřeba je přepočítat na jednotnou hodnotu. Máme-li tedy například určit absolutní koncentraci [N], bude platit

$$\frac{[N]}{[O_2]} = Q_N \times \frac{I_N}{I_{O_2}} \times \frac{M_{O_2}}{M_N} \times \left(\frac{W_N}{W_{O_2}} \right)^2 \times \left(\frac{T_{O_2}}{T_N} \right)^2 \times 10^{\frac{(X_N - X_{O_2})}{20}} \quad (5)$$

kde

I_N ... druhý integrál,

M_N ... amplituda modulace,

W_N ... šířka rozmítání (pro správné jednotky viz. Tabulka ??),

T_N ... čas rozmítání,

X_N ... útlum (v decibelech)

Kalibrace pomocí O₂

Stupně šířky rozmítání nemají lineární charakter a je proto třeba použít převodní tabulku

(přepínač <i>Sweep width</i>)					
	1	2	3	4	5
O₂	35	70	168	339	664
N	53	91	200	391	764
O	55	91	193	365	710

Převodní tabulka pro šířky rozmítání. (Uvedené hodnoty jsou v Gauss/12min, byly zjištěny na základě měření indukce magnetického pole při různých šířkách rozmítání).

Například, pokud jsme měřili [O₂] na čtvrtém stupni šířky rozmítání a N na prvním stupni šířky rozmítání, bude převodní faktor $\left(\frac{W_N}{W_{O_2}}\right)^2 = \left(\frac{53}{339}\right)^2$.

Dohasínající dusíkové plasma

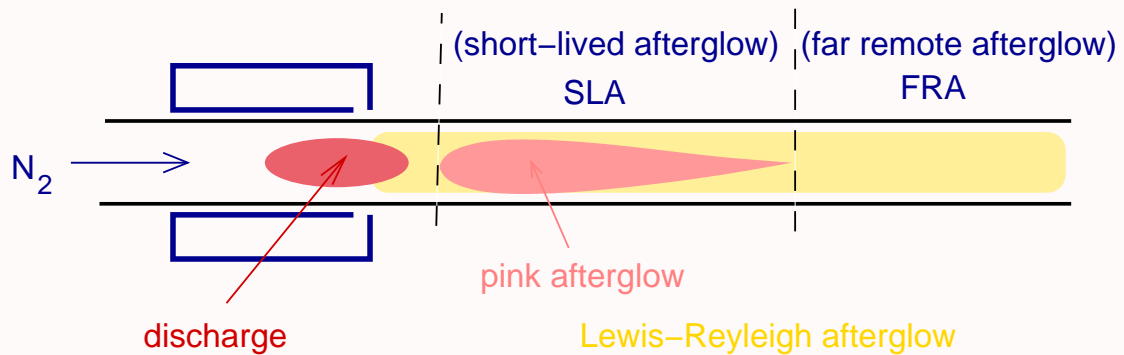
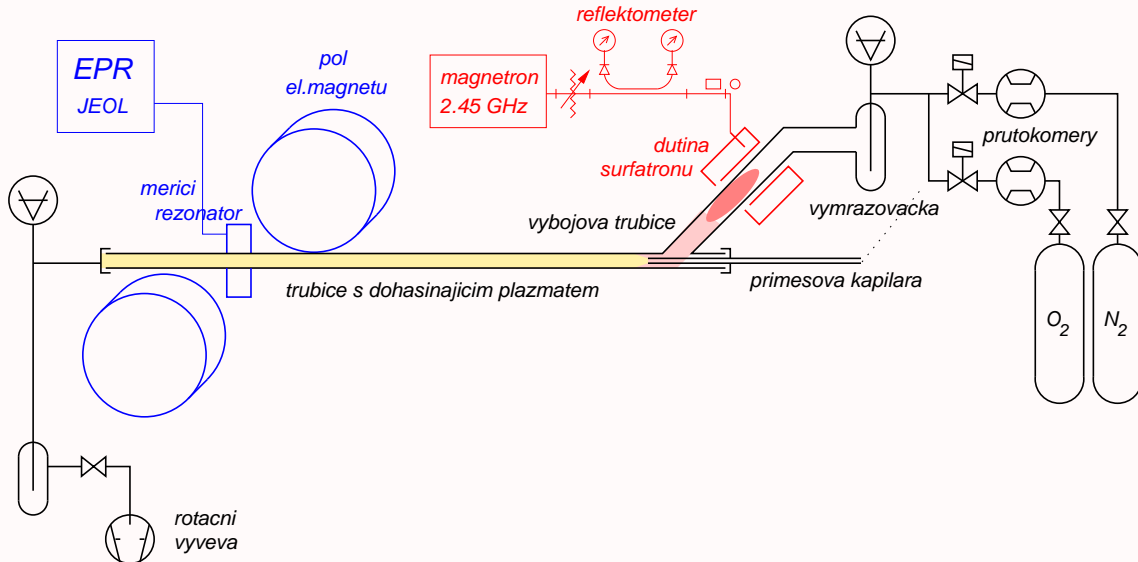
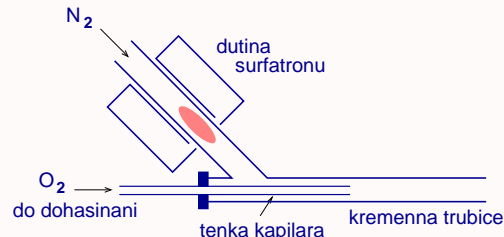
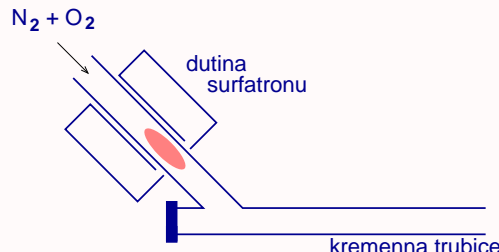


Schéma oblastí dusíkového dohasínání.

Experimentální uspořádání



Dvě možnosti přidávání příměsi:



- a) ve směsi s hl. plynem do výboje b) do dohas. plazmatu (až za surfatron)